

TK 1:50 000
L 8114 NEUSTADT

DREVESHUF MOOR

NIRSCHEN MOOR

HINTERZARTEN MOOR

TITISEE

ERLENDULCK MOOR

BALDENWECKER MOOR

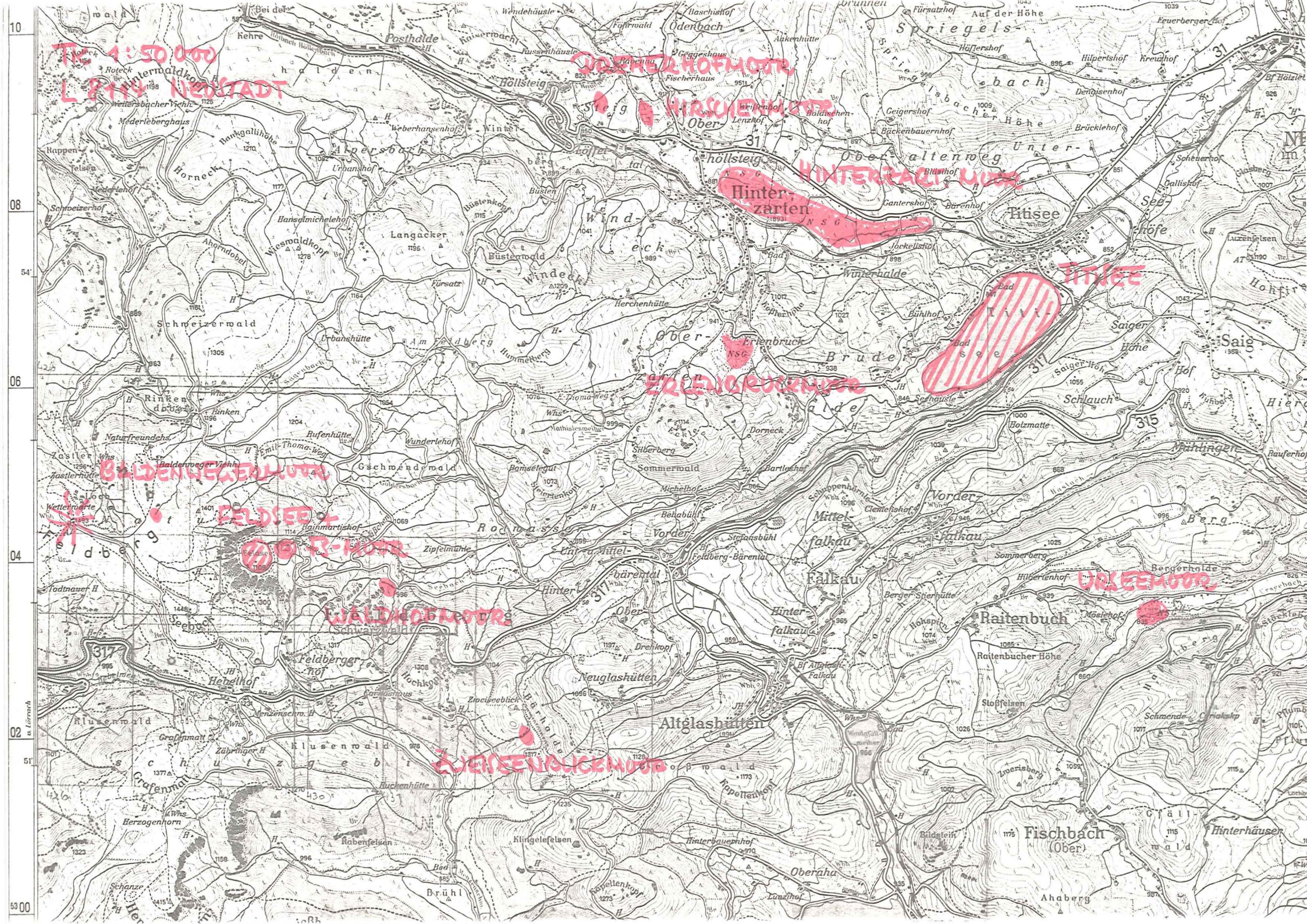
FELDSEE MOOR

WALDHOF MOOR

URSEEMOOR

ZWETSPENOLCK MOOR

Altglashütten



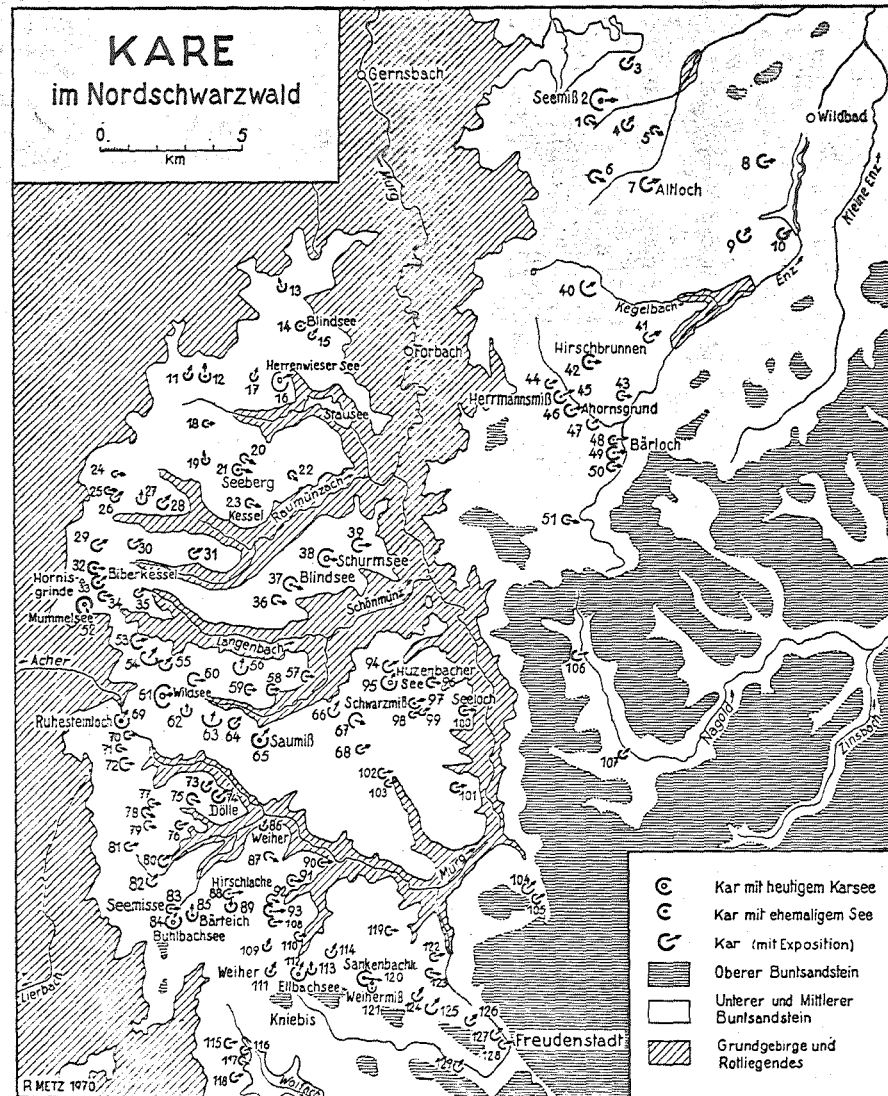
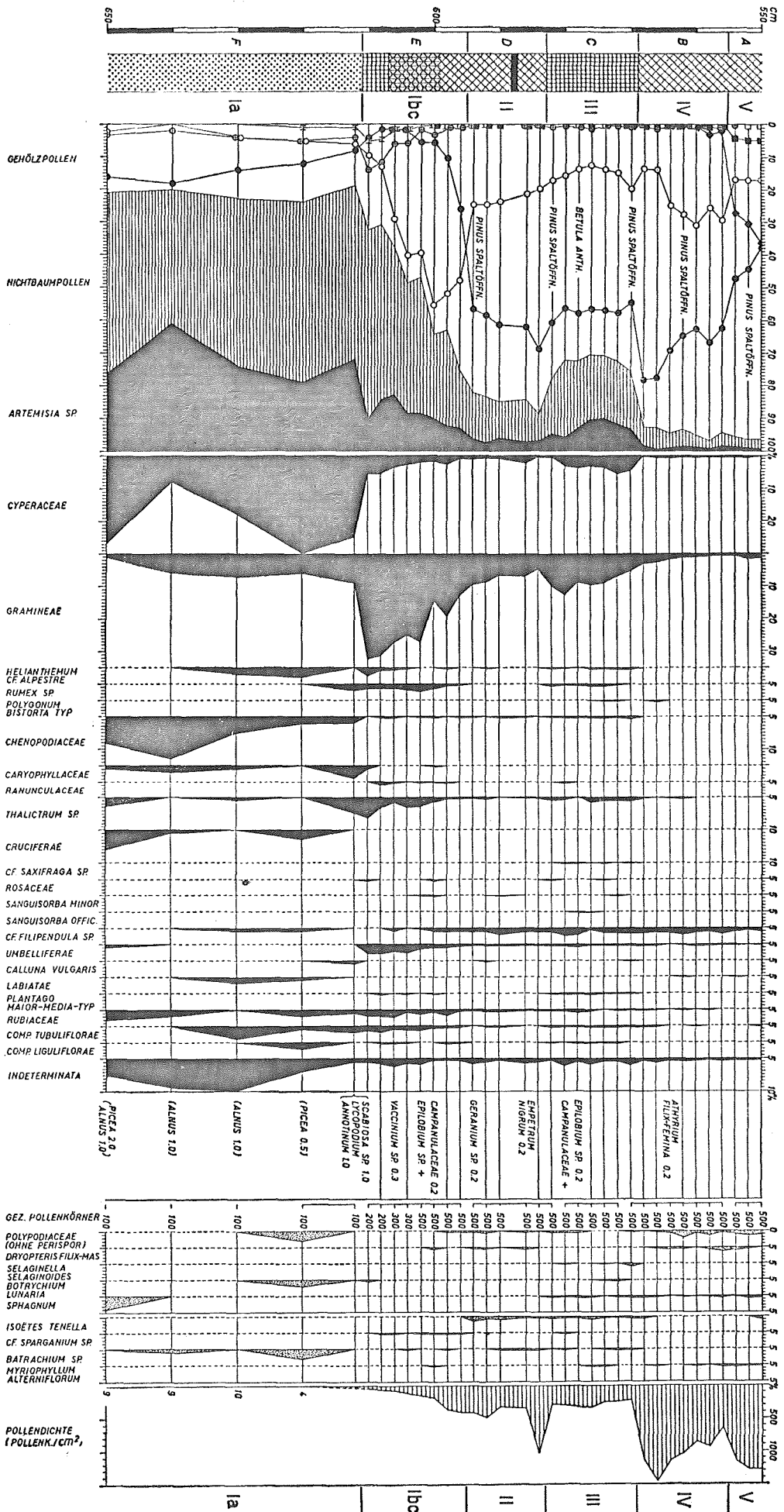


Abb. 40. Kare im N-Schwarzwald nach den geologischen Spezialkarten, FEZER (1957) und eigenen Begehungen. Die Skizze läßt die bevorzugte Entstehung der Kare im Hauptbuntsandstein erkennen, wo sie nahe unterhalb der würmeiszeitlichen Schneegrenze aus Quellnischen hervorgegangen sind und vielfach als Loch, Grube, Kessel oder Wanne bezeichnet werden.

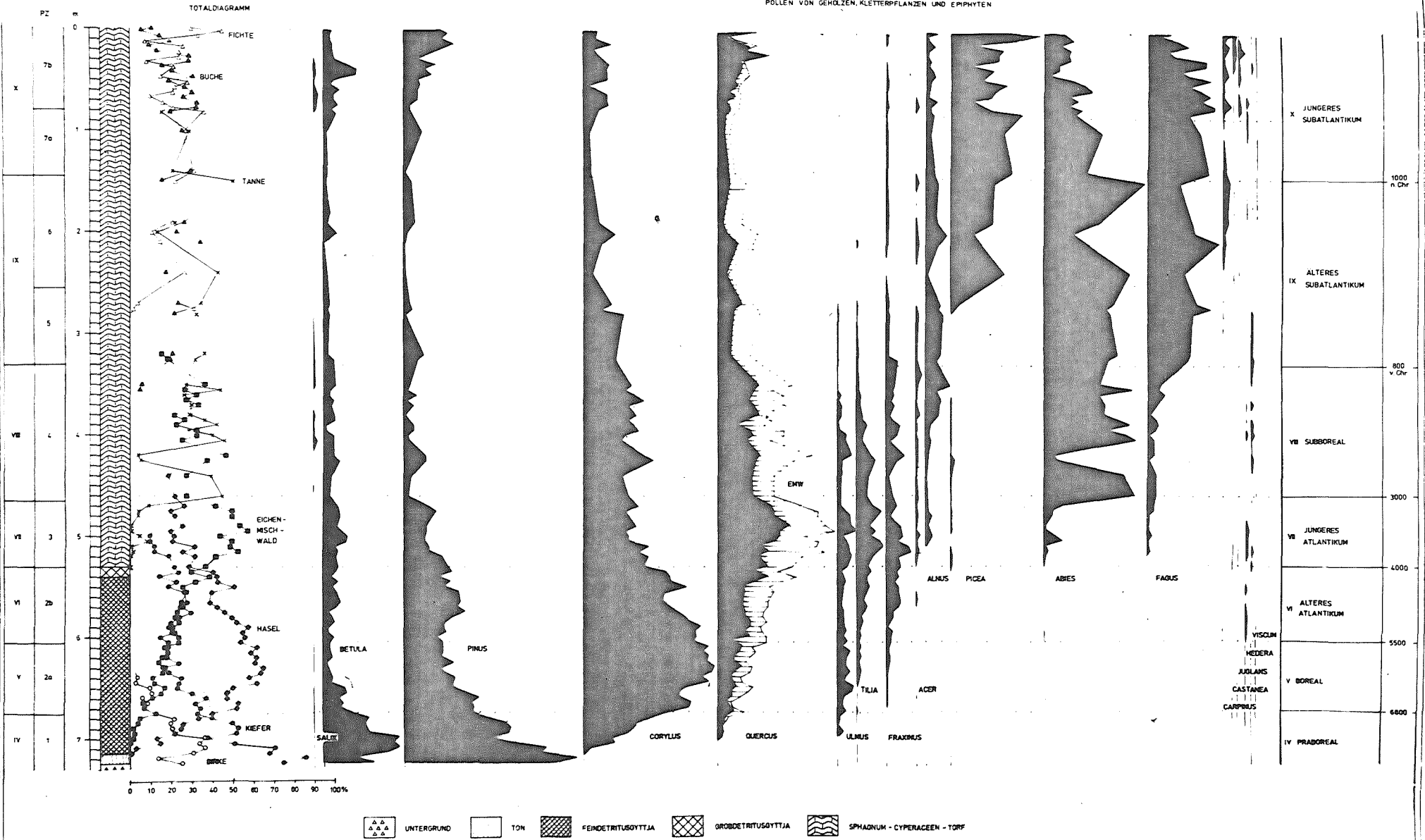
	Höhe m	Expos.		Höhe m	Expos.		Höhe m	Expos.
1 Seeburg	810	ESE	42 Hirschbrunnen	760	E	85 Bärteich	755	N
2 Seemiß	780	E	43 Salbeitteich	690	ESE	86 Weiher	640	NNE
3 Hirschgrasloch	740	NE	44 Fischgänger	800	ENE	87 Iigenbachergrub	735	ESE
4 Hirschklänge	810	NNE	45 Hermannsmiße	790	NE	88 Hirschschlache	825	NE
5 Wändle	735	ESE	46 Ahornsgrund	715	ENE	89 Bietschermiße	760	N
6 Wannrain	780	ESE	47 Rißeich	730	NE	90 Schramberger Grub	670	ENE
7 Altloch	795	NE	48 Kleines Bärloch	700	ENE	91 Hintere Grub	740	E
8 Untere Rohrmüße	585	ENE	49 Großes Bärloch	730	ENE	92 Rotegießen-N	755	SE
9 Tiefengrund	715	NE	50 Maienstube	720	E	93 Rotegießen-S	680	ENE
10 Sulzmiße	645	ENE	51 Enzbrunnen	740	SE	94 Hahnbergerloch	750	NE
11 Grabenloch	810	NNE	52 Mummelsee	1028	SE	95 Huzenbacher See	747	NE
12 Mittelfeldkopf	810	N	53 Teufelsmühle	970	ENE	96 Tobelwald	760	ESE
13 Eierkuchenberg	780	NNW	54 Geisloch	990	NE	97 Schwarzmiße	695	ENE
14 Blindsee	820	ENE	55 Fischergrube	920	NE	98 Obere Rötterhardtgrube	810	NE
15 Streitmannskopf	830	NNE	56 Wüstloch	880	NNE	99 Untere Rötterhardtgrube	760	NE
16 Herrenwieser See	830	ENE	57 Klein-Leinkopf	805	E	100 Seeloch	710	ENE
17 Seegrund	910	NNE	58 Hintere Leingrub	860	E	101 Höll	670	NE
18 Schwarzenberg	820	E	59 Aschengrub	890	E	102 Steinmisse	640	NE
19 Dreikohlplatte	890	NNW	60 Seeteich	900	E	103 Klappermisse	650	NE
20 Teufelskamm	890	ESE	61 Wildsee	910	ENE	104 Simonswies	610	NE
21 Seeburg	910	ESE	62 Pfälzergrub	850	N	105 Saumisse	645	NE
22 Nägeliskopf	880	SE	63 Pfälzertopf	915	NNE	106 Kessel	650	ENE
23 Kessel	890	ESE	64 Sauloch	900	NE	107 Kirchbühl	630	NE
24 Pfiemacker	930	E	65 Saumiße	895	NE	108 Brückleswald	720	ENE
25 Hochkopf W	940	E	66 Stumpengrub	820	NNE	109 Kessel	830	NNE
26 Hochkopf E	930	NE	67 Hennenbächle	760	ESE	110 Grub	700	ENE
27 Bettelmannskopf N	910	N	68 Gfällterkopf	740	NE	111 Weiher	765	NNE
28 Bettelmannskopf E	890	NE	69 Ruhesteinloch	845	NE	112 Ellbachsee	770	NNE
29 Großes Muhr	1050	NE	70 Rotmurgbrunnen	935	ENE	113 Wüstes Teich	780	N
30 Hundsrücken	960	NE	71 Melkenteich	925	ESE	114 Dellesrain	800	NNE
31 Vorderes Sauloch	860	ENE	72 Hübscher Platz	910	E	115 Teufelsries	760	NE
32 Großer Biberkessel	1050	E	73 Rehstall	800	NE	116 Teufelskanzel	760	NE
33 Kleiner Biberkessel	1000	NE	74 Dölle	810	NE	117 Sommergrube	770	SE
34 Pommersloch	1020	E	75 Kammerloch	820	ESE	118 Kammerloch	795	ENE
35 Batzgänger	930	ENE	76 Oberes Leinbächle	850	ENE	119 Kienberg	740	E
36 Diebau	800	ESE	77 Geißträgerhütte	890	E	120 Sankenbachkessel	675	ESE
37 Blindsee	880	ESE	78 Schrofelteich	900	SE	121 Weihermiße	750	N
38 Schurmsee	794	E	79 Gaißkopf	860	ESE	122 Wörnersmiße	675	ENE
39 Hirschlach	810	ENE	80 Wolfhütte	720	NE	123 Maienplatz	680	ESE
40 Diebstich	830	NE	81 Langmiße	860	NE	124 Urschenloch	710	NNE
41 Aschenloch	730	NE	82 Mosesbrunnen	740	ENE	125 Jägerloch	675	NE
			83 Seemisse	760	ENE	126 Kohlwiesle	675	NE
			84 Buhbachsee	785	NNE	127 Franzosengrüble	675	NE
						128 Bärenschlöble	670	ENE
						129 Schlehsche Mühle	915	NE

Abb. 5. Profil 4. Erlenbruchmoor. 930 m, Umgebung bis 1200 m. Pollen- und Sporendiagramm.

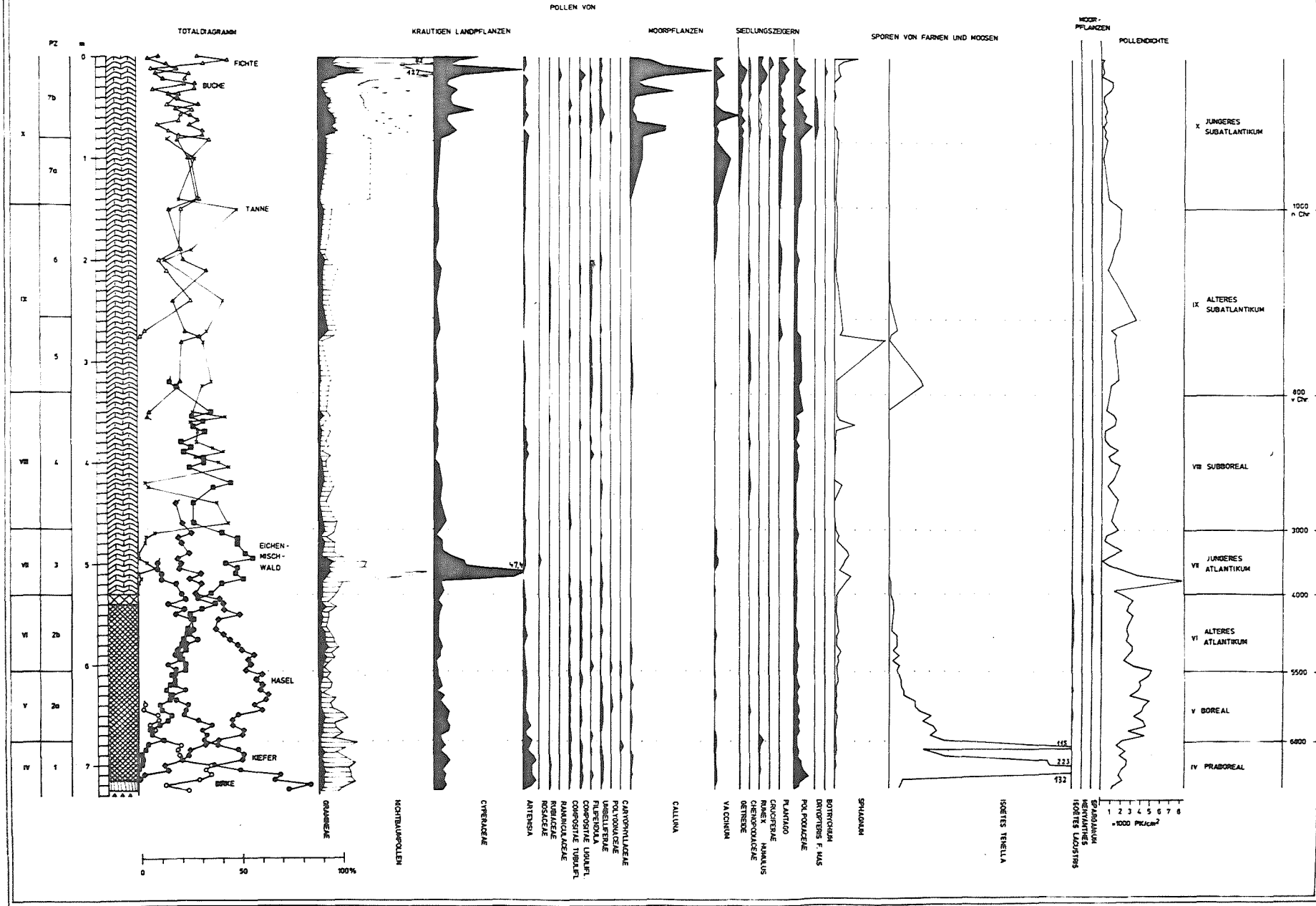


ZWEISEENBLICK - MOOR (1280 m) Teildiagramm I

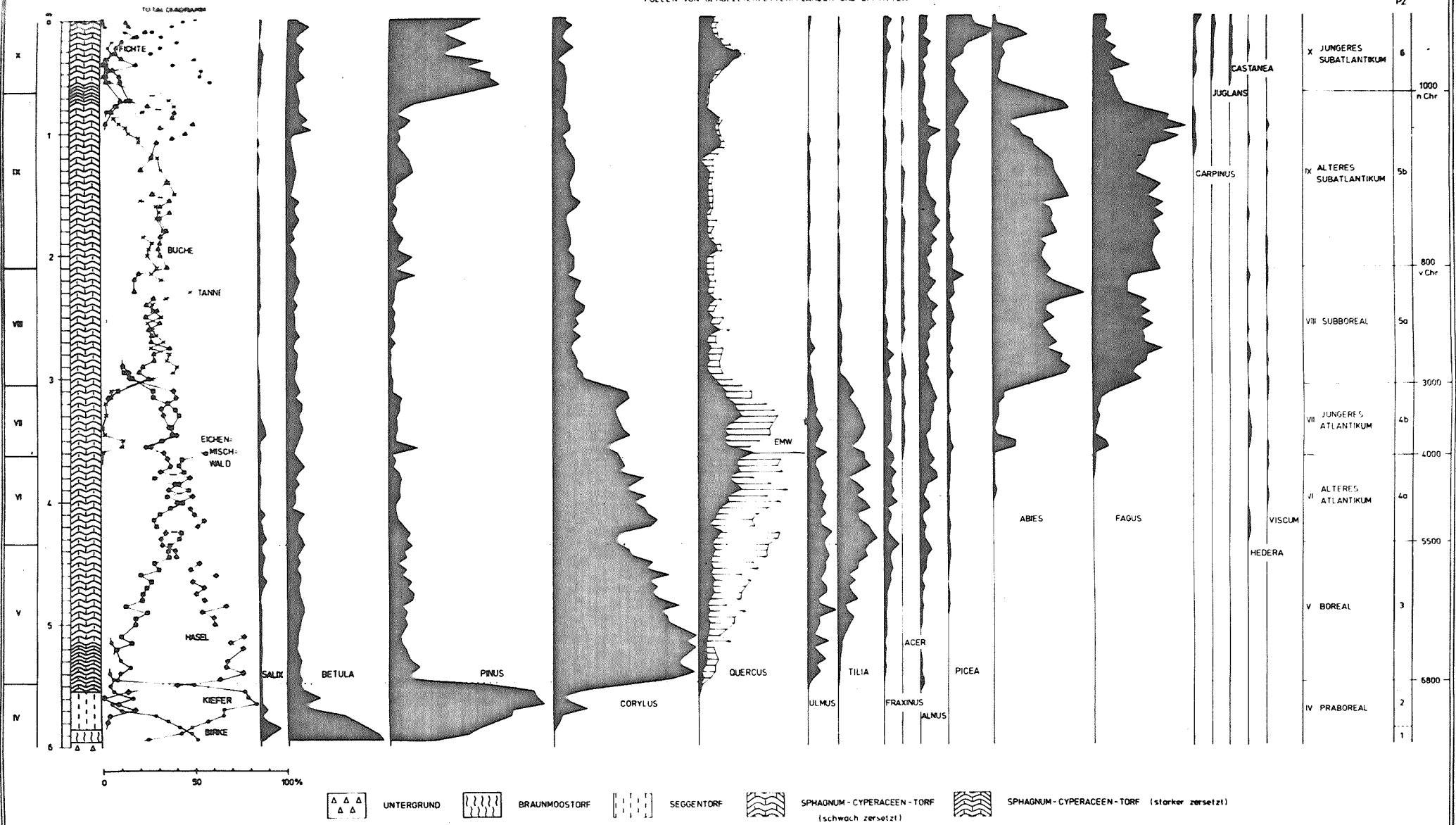
POLLEN VON GEHÖLZEN, KLETTERPFLANZEN UND EPHYTYEN

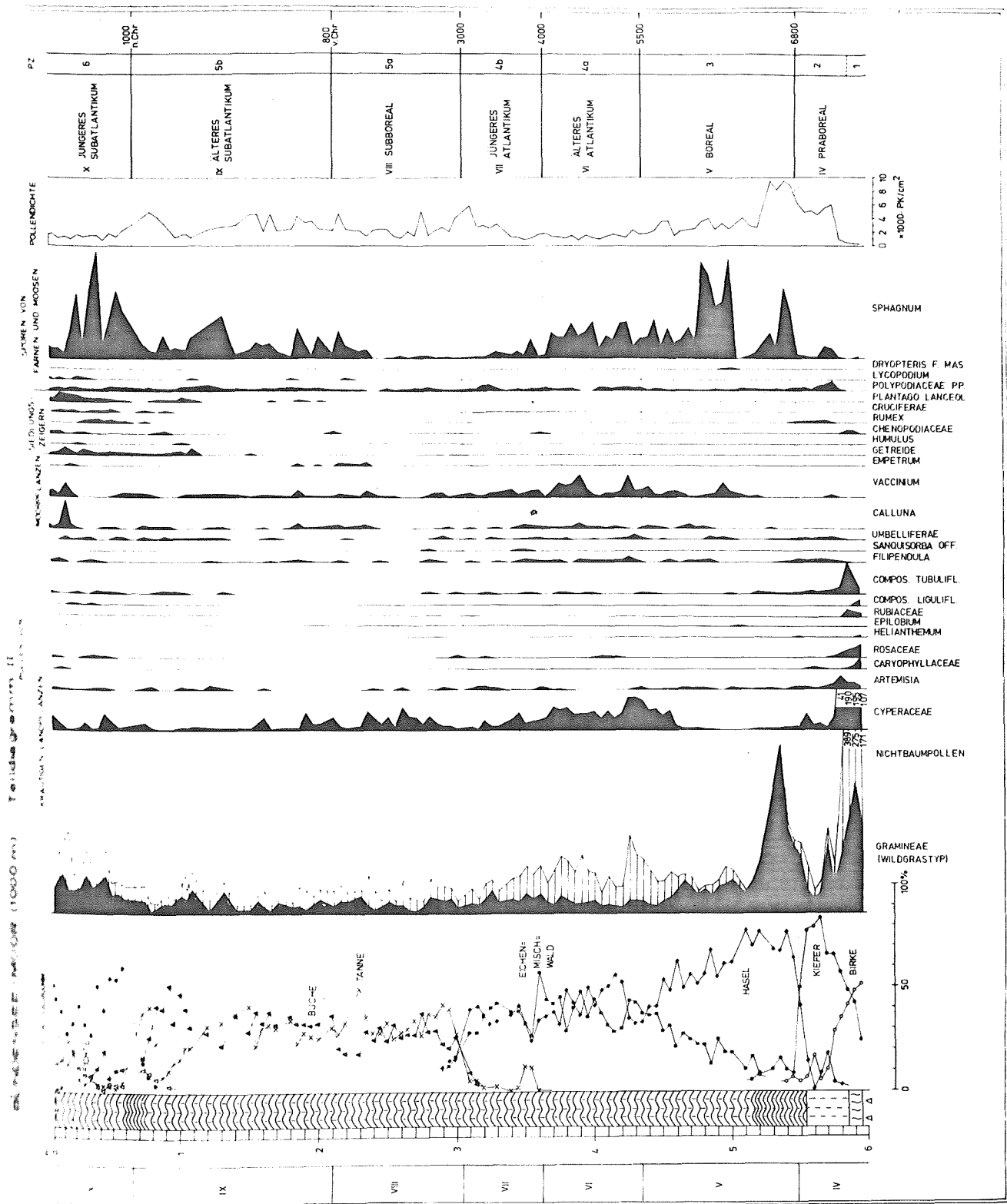


ZWEISEENBLICK - MOOR (1280 m) Teildiagramm II



BLONDENSEE-MOOR (1000 m) Teildiagramm I





△ Abb 14: Pollendiagramm vom Blindensee-Moor, Teildiagramm II

△ Abb 13: Pollendiagramm vom Blindensee-Moor, Teildiagramm I

...ntalgrabens. —
 ...kennbar an In-
 ...zswald 1874—81
 ...ld. — N. Jahrb.
 ...Nat. Ges. Frei-
 ...tleren Schwarz-
 ... — Zeitschr. f.
 ...cit. — Meteor.
 ...chung der Eis-
 ... Altersstellung
 ...st. f. Bodenf.,

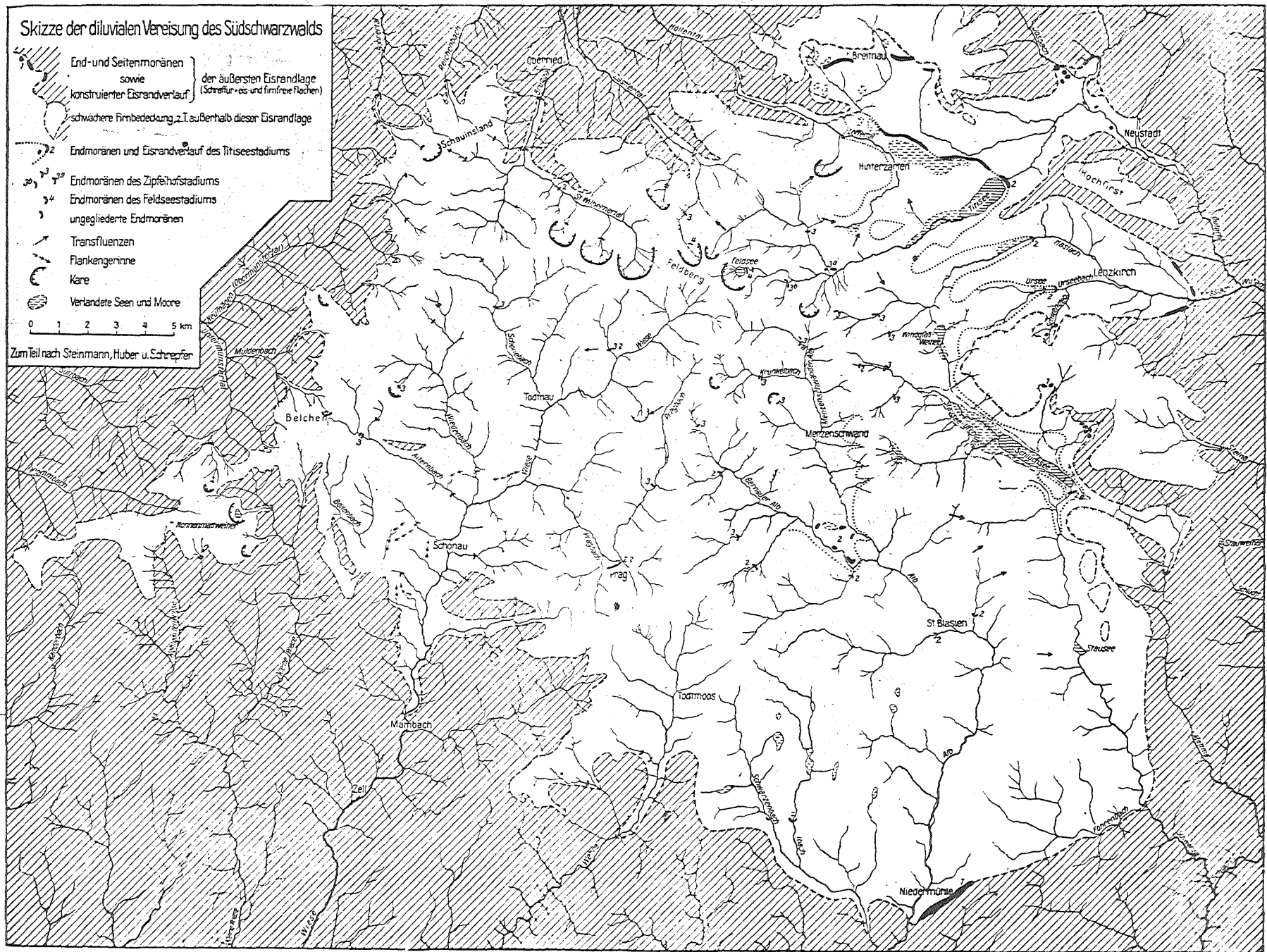
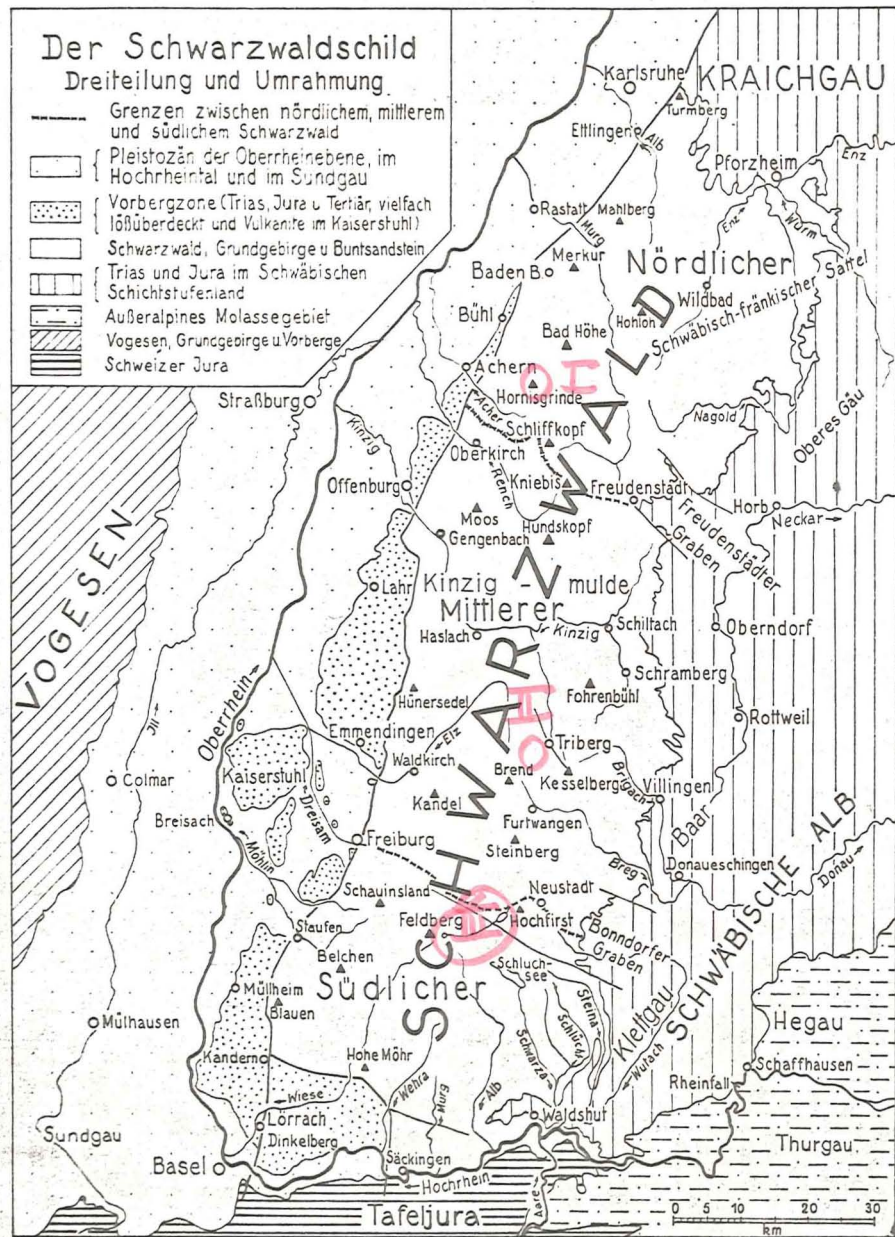


Abb. 26

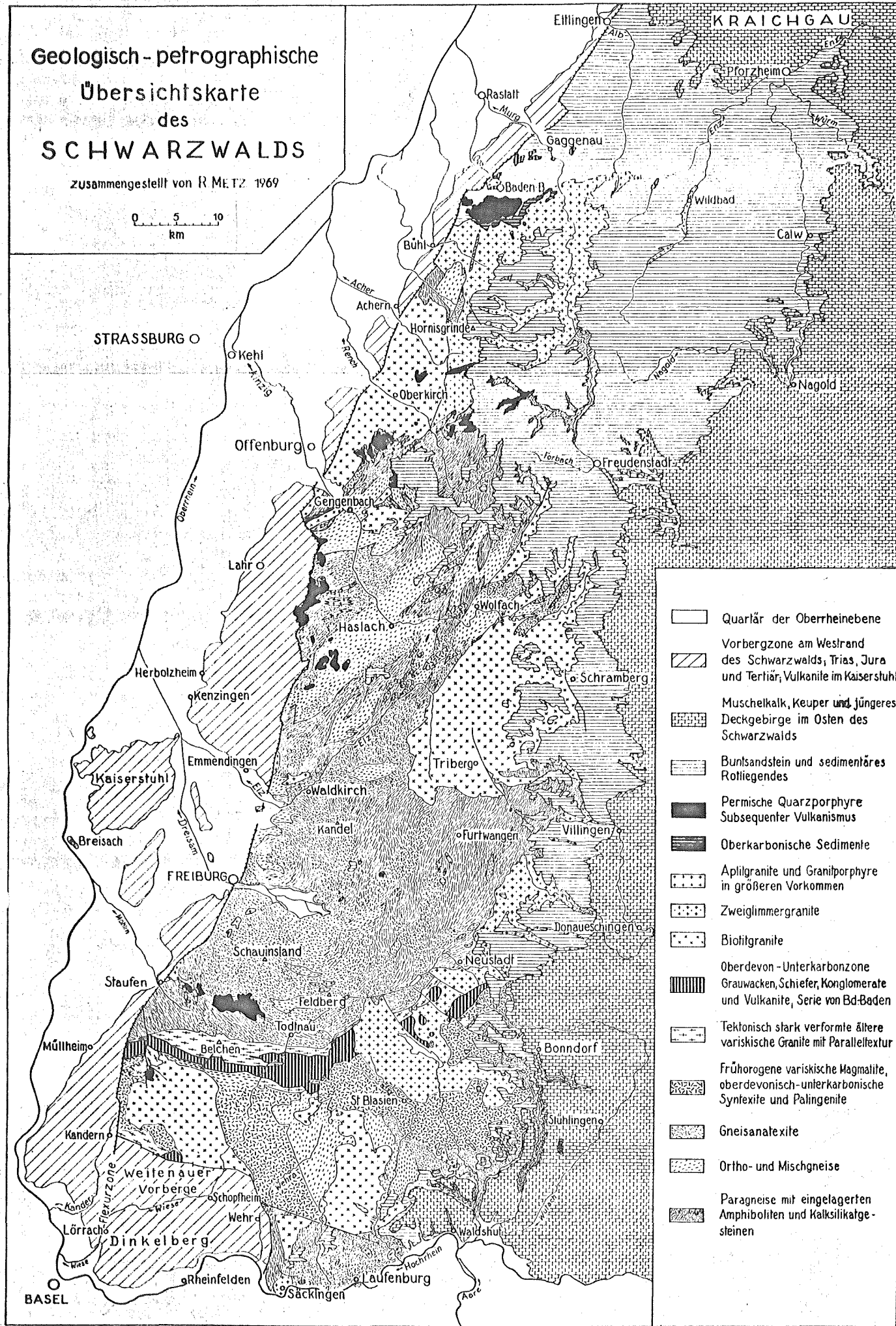
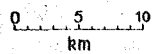


I HORNISGRINDE
 II BLINDENSEEMOOR
 III FELDBERG GEBIET

Abb. 30. Landschaftsgliederung des Schwarzwalds, morphotektonisch bedingte Dreiteilung.

Geologisch - petrographische Übersichtskarte des SCHWARZWALDS

zusammengestellt von R. METZ 1969

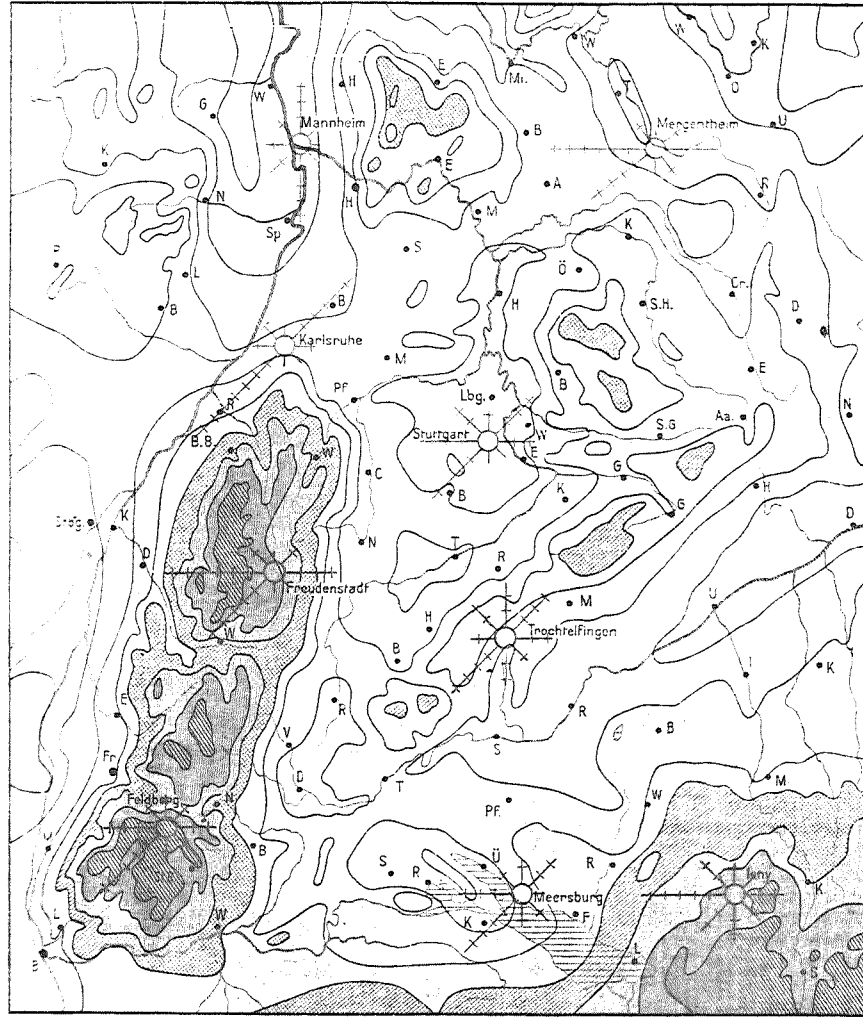


- Quartär der Oberrheinebene
- Vorbergzone am Westrand des Schwarzwalds, Trias, Jura und Tertiär; Vulkanite im Kaiserstuhl
- Muschelkalk, Keuper und jüngeres Deckgebirge im Osten des Schwarzwalds
- Buntsandstein und sedimentäres Rotliegendes
- Permische Quarzporphyre Subsequenter Vulkanismus
- Oberkarbonische Sedimente
- Aplitgranite und Granitporphyre in größeren Vorkommen
- Zweiglimmergranite
- Biotitgranite
- Oberdevon - Unterkarbonzone Grauwacken, Schiefer, Konglomerate und Vulkanite, Serie von Bd-Baden
- Tektonisch stark verformte ältere variskische Granite mit Paralleltexur
- Frühorigene variskische Magmatite, oberdevonisch - unterkarbonische Synfexite und Palingenite
- Gneisatexite
- Ortho- und Mischgneise
- Paragneise mit eingelagerten Amphiboliten und Kalksilikatgesteinen

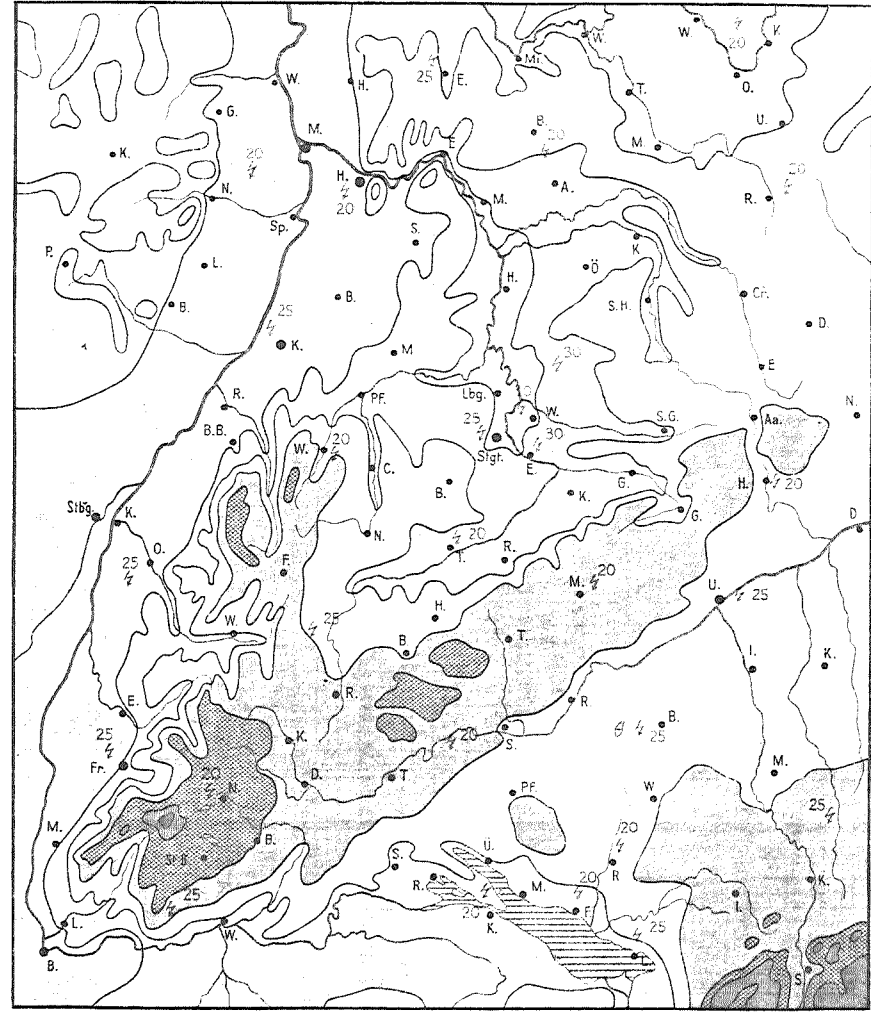
Abb. 3. Geologisch-petrographische Übersichtsskizze des Schwarzwalds.

Klima

Niederschläge

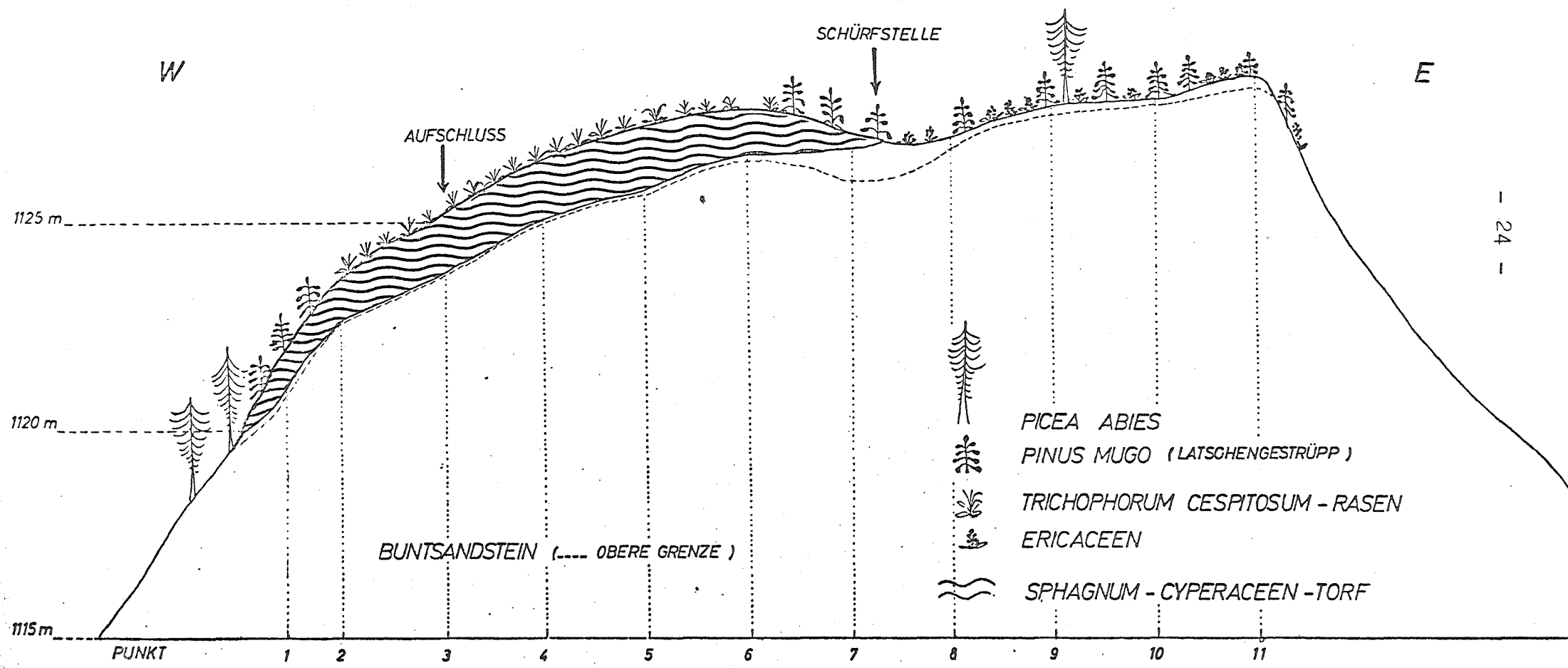


Temperaturverhältnis



LINIENPROFIL DURCH DAS HORNISGRINDE - MOOR

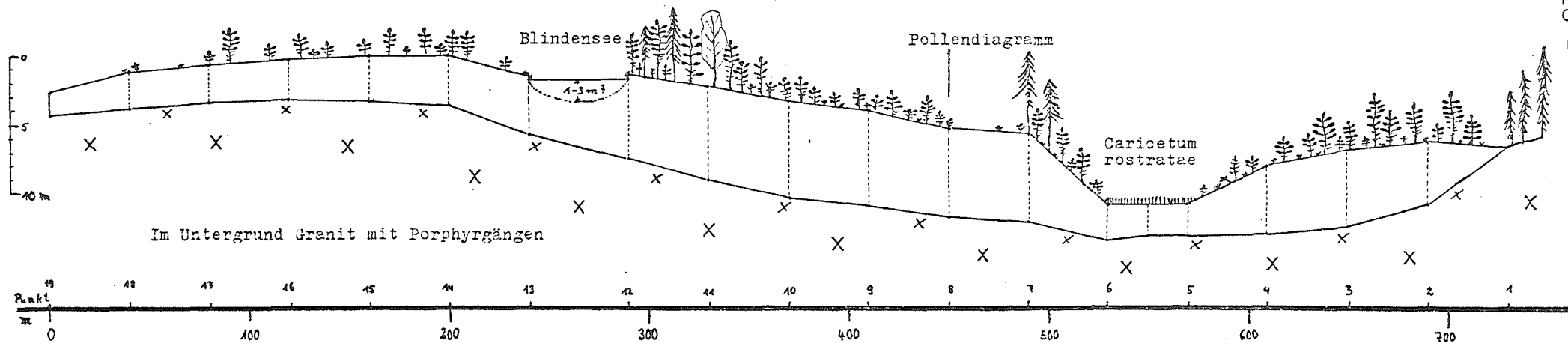
(8-FACH ÜBERHÖHT)



- 24 -

Abb.: 8

 Pinus mugo
  Picea abies
  Betula pubescens
  Abies alba
  Vaccinium



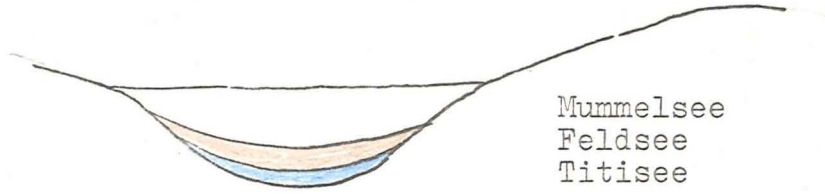
SW

Abb. 12: Linienprofil SW-NE durch das Blindensee-Moor (vgl. Abb. 5). Die Darstellung zeigt den Verlauf der Mooroberfläche und des mineralischen Untergrundes (Granit mit Porphyrgängen), mithin die Ablagerungsmächtigkeit entlang des Schnittes. 7-fache Überhöhung.

NO

SEEN + VERLANDUNGSMOORE

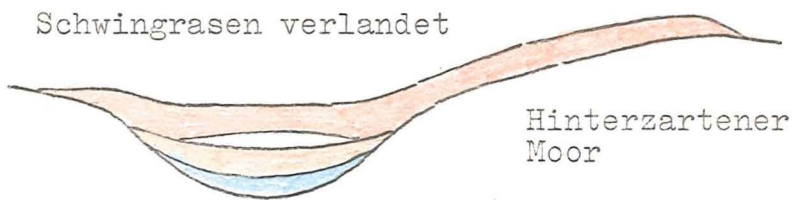
Seen (Karseen, Zungenbeckenseen)



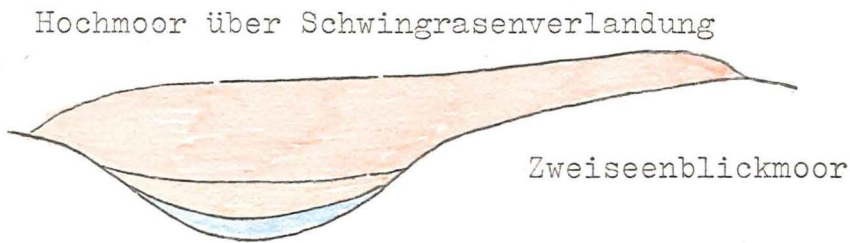
Schwingrasen in Verlandung



Schwingrasen verlandet

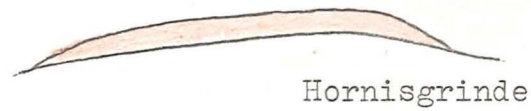


Hochmoor über Schwingrasenverlandung

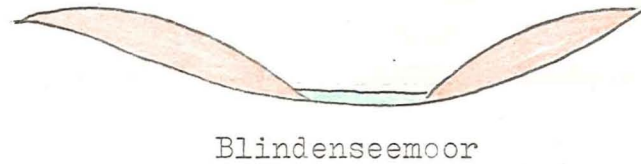


PRIMAERE
VERSUMPfungSMOORE

Plateaumoos



Hangmoos

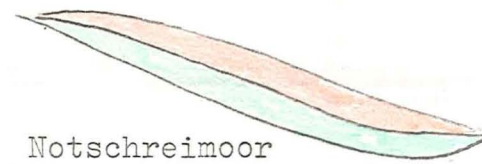


BRUCHWALD-
VERSUMPfungSMOORE

Quellmoos



Hangmoos



UEBERSICHT UEBER
MOORTYPEN DES SCHWARZWALDES

grün = Bruchtorf
rot = Sphagnum
braun = Muschel
blau = Ton

Exkursionsnotizen

I. Hornisgrunde, N-Schwarzwald:

- Ausbildung der Vegetation als Luzulo Fagetum: arme Standorte
Abieto Fagetum: reiche Standorte
- Grüniden als - Vaccinio Mycetum ausgebildet, besonders am Torfraud auf mineralischem Grund.
 - Calluna genistinum, Bergstrandheide
 - Trichophorum cespitosum ssp. germanici auf stillstehendem Torf, max 2m Torf.
- Altes: relativ alt, Atlantikum, EMW Zeit
- Sonstige Vegetation: Sphagnum compactum
Eriophorum vaginatum
Calluna vulgaris

II. Mummelsee, N-Schwarzwald:

- 1026m höchstes Kessel des Nord-Schwarzwaldes (tiefstes bei 650m Altes Weiler + Tuff)
- im Nord-Schwarzwald keine Plateau Vereisung
15m Wassertiefe
- Stratigraphie Mummelsee: 2-3m Schluff
1m Ton + Tuff!

III. Blindensee, M-Schwarzwald:

S. HÖLZER

Latschen nur N-Schwarzwald
 Spirkeu nur S. Schwarzwald

IX Zweisenblotmoor :

- Stäck: Amalime Versumpfungsmoor
- LANG: Verlandungsmoor, Kleines flades See
- 5 cm Ton
- 2 m Mucke
- 3 m Sphagnum, ombrotrophes Spl. torf
- Kein Spätglazial → Eisbedekt bis III. !
- höchstes Moor im Südschwarzwald.

- Vegetation: - keine P. nugo, allgemein im Feldberggebiet
 nicht über 1000m. } typisch für hohe Moor.
- Trichophorum cespitosum ssp. cespitosum
- Lycopodium selago
- Picea naturalis Vorkommen möglich
 (Moor, → später forstlich)
- intensive Ausbeutung erst spät, Erscheinen in VIII

X Baldenwegemoor :

- Korkig im Entstehung, meist mit Caltha Gipfel
 (- recentes Beispiel vorhanden) Bodenuntersuchungen?
- Bewaldung: MÜLLER: alles was Vaccinium war bewaldet.

IV. Urseemoor, S-Schwarzwald:

- Klassifizierung des Eisrückungs:
- 1 äußere Jungendmoräne
 - 2 Titisee
 - 3 Bippelhof
 - 4 Feldsee
- Vegetation:
- a) Kleinseggenmoor mit *C. fusca*, *C. lasiocarpa*
 - b) *Betula*, *P. unguis* (*P. natans*)
 - c) Schwinggrasen mit *C. limosa*, *Sphagnum medii*
Sph. recurvum
(Schwinggrasen wurde untertaucht!)
 - d) äußerer Rand des Schwinggrases zum mit Erde, Wasserschichtung, steht normal im Widerspruch zu oligotroph, dystrophen Verhältnissen, erklärt sich aber durch Zufluss von Abwässern der umliegenden Höfe und dadurch Eutrophierung.
- Seeentwicklung:
- a) Isoetes Ibc, Ende zu Beginn des Postglazials
(*J. lacustris* nur im Postglazial)
oligotroph
↓
 - b) *Typha latifolia* (*Nymphaea*, *Typha eutroph*
Ben. WEGMÜLLER)
eutroph
↓
 - c) durch Schwinggrasbildung
dystroph
 - d) durch menschliche Eutrophierung wurde Schwinggrasweiterwachstum gestoppt.

V. Hinterstatterer Moor

- Bisheriger Verlauf in der Sukzessionsentwicklung gleichzeitige absteigende Abfolge:
 Kar. (Kammelsee) - Schwinggras (Wassermoor) - endgült. Verlandung (Hinterstatterer Moor)
 Hochmoor nach endgültiger Verlandung (Zwischenblüdmoor)
- Westteil des Moores: endgültiger Verlandungskomplex
 Schenckseria Schlenken + beginnende Bultbildung
- Ostteil des Moores: z.T. schon Hochmoor.
- Stratigraphie: 0-3,5 m : Sphagnum - Schenckseria - Eriophorum Torf
 3,5-7 m : Wassersack: junge Verlandung
 7-12 m : Muddel Tuff.
 12-16 m : Ton blau, dann rotlich
 raudlich / Bruchtauf!
- Vegetation: von Vaccinio Mycetozoa im Westteil
 Rhynchospora alba.

zeitweiliges ist noch große Wasseroberfläche zu sehen!

VI. Titisee

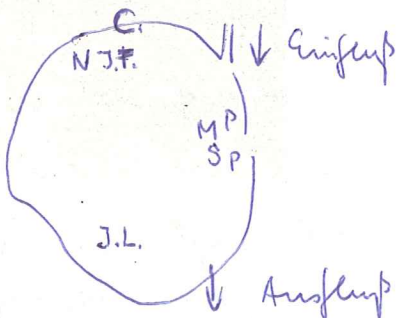
VII. Waldhofmoor

KÜTTEL: Juniperus vermutliche Lektion
 wie verhält es sich dann mit
 absoluter Datierung des Juniperus
 Spitzes wenn Funde in verschiedenen
 Höhen? Ist Juniperi = Juniperus, pfl.

- Verlandungsmoor 9-10 m, viele Großreste

VIII. Feldsee:

Wassertiefe 34 m, noch kein Spätglazial.



- J.L. J. lacustris
- J.T. J. tenella
- M. Myriophyllum alterniflorum
- S. Sphagnum affine
- P. Potamogeton natans
- N. Nitella
- C. Caricetum rostratae

J. Juncus
 blatt